車載型プロフィルメータを用いた平均プロファイル深さの推定

鹿島道路 技術研究所 正会員 〇大嶋 智彦 同 F. 正会員 岡部 俊幸 北見工業大学 工学部 正会員 川村 彰

上 同

正会員 富山 和也

1. はじめに

舗装路面のテクスチャは摩擦すべり抵抗や路面騒音と密接な関係があり、特にマイクロテクスチャ(波数: 2,000 [m⁻¹] 以上) とマクロテクスチャ(波数: $20\sim2,000$ [m⁻¹]) は摩擦すべり抵抗に、マクロテクスチャと メガテクスチャ(波数: $2\sim20$ [m^{-1}])は路面騒音に影響を及ぼすことが知られている $^{-1}$. このうちマクロテ クスチャは、近年回転式きめ深さ装置や手押し式センサ装置で得られる平均プロファイル深さ(以下、MPD) で評価することが多いが、これらは交通規制を必要とし、回転式きめ深さ装置は点管理であるなど、迅速かつ 効率的な調査には不向きである.筆者らは,簡易計測器搭載車両を活用し,舗装の路面状態を表すわだち掘れ, ひび割れ、縦断凹凸などの測定方法を検討してきた. 本文はこの測定方法の一つである縦断凹凸測定システム を使用し、路面の MPD の推定方法を検討したのでここに報告する.

2. 測定概要

2-1 測定機器

使用した測定機器は, 簡易計測器搭載車両の車載型プロフィ ルメータおよび㈱クマタカエンジニアリング社製の MRP とし た. 車載型プロフィルメータの仕様を表-1 に示す. 車載型プロ フィルメータで得られる縦断プロファイルの測定原理は、車両 下部の3箇所(前輪,車両中央,後輪)に設置した非接触型レ ーザ変位計を用い、路面との相対変位を逐次3点法によって算 出する方法である.

2-2 測定方法

測定条件を**表-2** に示す. 最大粒径 13mm の既設ポーラスアス ファルト舗装および既設密粒度舗装を測定対象として, 車載型 プロフィルメータおよび MRP を用いて同一線上の路面を測定 した. また, 解析に用いた区間は, ポーラスアスファルト舗装・ 密粒度舗装とのジョイントの影響等を避けるため, 区間中心部 の延長 30m 間とした.

表-1 車載型プロフィルメータの仕様

項目	仕様
製造会社	㈱フジエンジニアリング
測定速度	2∼100 km/h
距離分解能	1mm(改良)
高さ分解能	3 μ m
測定レンジ	±100 mm
使用可能温度	0∼50 ℃

表-2 測定条件

項目	測定条件
舗装の種類	ポーラスアスファルト舗装(13) 密粒度舗装(13)
測定速度	車載型プロフィルメータ: 20km/h MRP: 2km/h
測定回数	各 3 回

本検討では MRP で得られるデータの値を真値とし、車載型プロフィルメータのデータを比較検討した.

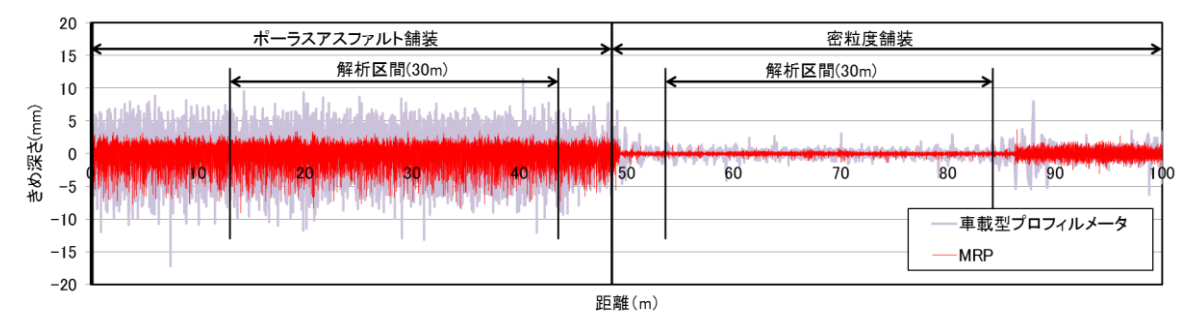
3. 測定結果

3-1 縦断プロファイルと PSD

対象区間における車載型プロフィルメータと MRP で計測したきめ深さを図-1 に示す. 図-1 より, 車載型 プロフィルメータのきめ深さは MRP に対して振幅が大きく変動し、スパイク状の波形が現れている.

そこで、この現象を確認するため両者測定器のきめ深さを用い、対象区間におけるパワースペクトル密度 (PSD) を求めた (図-2). 図-2 より、車載型プロフィルメータで得られたきめ深さの PSD は、MRP の PSD よりも特に波数 $10 \, (m^{-1})$ 以下および $100 \, (m^{-1})$ 以上で大きくなっていた.

キーワード 車載型プロフィルメータ, MRP, きめ深さ, 平均プロファイル深さ, MPD, PSD 〒182-0036 東京都調布市飛田給 2-19-1 鹿島道路㈱技術研究所 Tel 042-483-0541 連絡先



計測したきめ深さ 図-1

3-2 MPD 算定方法の検討

図-1 の突発的な値 (スパイクノイズ) および図-2 に示した波数成分における 振動の大小関係が現れる原因として,車 両振動によって生じるレーザ計測機器 本体の揺れによる内部的なノイズおよ びレーザ反射光の受信による変動, 計測 システムによる誤差等が考えられる. そ

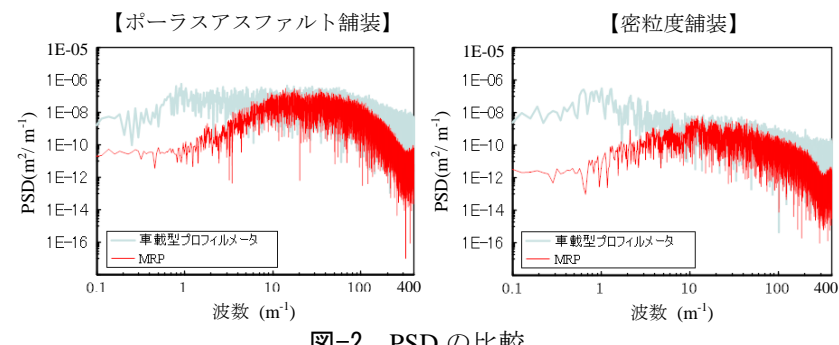


図-2 PSD の比較

こで、これらのノイズ除去を行うため、スパイクノイズを除去し変化の 傾向を維持できるメディアンフィルタを用いた. メディアンフィルタで は、クラス強度の影響度合いを検討するため、片側平滑化個数を4通り (1, 3, 5, 7) とした. またメディアンフィルタに加え, 車両運動に よるメガテクスチャの影響を考慮し MRP の PSD 波形に合うよう, 波数 5 (m⁻¹) のハイパスフィルタ処理を行った.

フィルタ処理後のデータを,基準長 0.1m として MPD を算出し,評 価区間 1m として整理した. 図-3 は MRP と車載型プロフィルメータの データをフィルタ処理後に算出した MPD を比較したものであり、MPD が小さい密粒度舗装では両者の差異は小さいものの、ポーラスアスファ ルト舗装はクラス強度5が最もよく一致していた. そこでクラス強度に よる MPD 算定の確からしさについて、両者 MPD における差の平均値 の t 検定を行った. 有意水準 5%における両側検定の結果を図-4 に示す. この結果, t 値はクラス強度 4~6 程度の範囲内で有意ではなく, 両者の MPD とよく一致するクラス強度は5であった。また、クラス強度5で フィルタ処理した PSD は、図-5 に示すとおり各波数における PSD は MRP の波形の動きとよく一致していた.

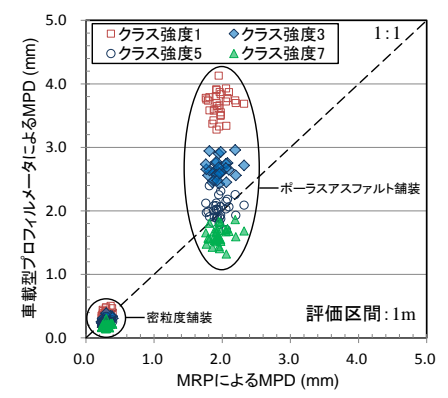


図-3 MPD の比較

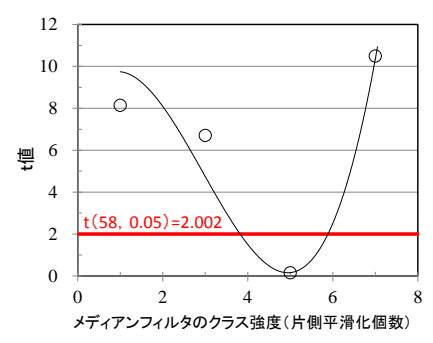
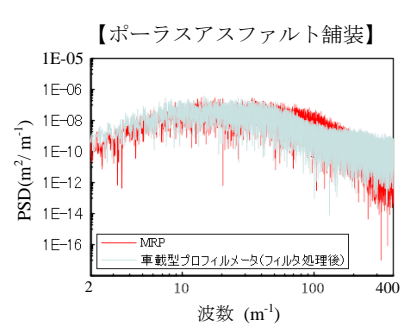
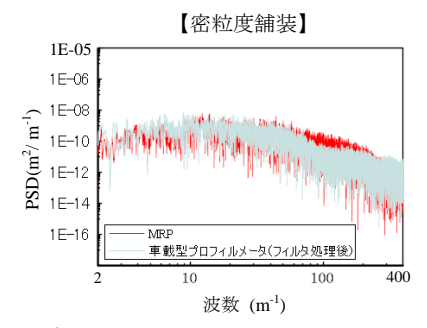


図-4 フィルタ強度による t 検定

4. おわりに

今回, 車載型プロフィルメータを使用し メディアンフィルタ処理等を行うことに より、MPD を推定しうる可能性がわかっ た. 今後, 多種多様な舗装および車両速度 の変化による影響等について検討してい く所存である.





クラス強度 5 を用いた車載型プロフィルメータにおける PSD

【参考文献】

1) 公益社団法人土木学会:舗装工学ライブラリー10路面のテクスチャとすべり、平成25年3月